

中性 Top 介子与轻子味破坏衰变过程^{*}

岳崇兴¹⁾ 于东麒

(辽宁师范大学物理与电子技术学院 大连 116029)

摘要 在顶色辅助的人工色(TC2)模型框架下, 研究了中性 top 介子 π_t^0 对轻子味破坏(LFV)过程 $l_i \rightarrow l_j \gamma$, $l_i \rightarrow l_j l_k l_l$ 和 $t \rightarrow c l_i l_j$ 的贡献。考虑到当前 $\mu \rightarrow e\gamma$ 过程的实验上限对 TC2 模型中自由参数的一些限制, 进一步计算了 top 介子对过程 $l_i \rightarrow l_j l_k l_l$ 和 $t \rightarrow c l_i l_j$ 分支比的量子修正。数值结果表明, 在大部分参数空间内分支比的值可提高几个量级。top 介子对某些过程的修正效应也许可被将来的实验观测到。

关键词 中性 top 介子(π_t^0) 轻子味破坏(LFV) 分支比

1 引言

电弱对称性破缺(EWSB)机制和费米子质量的来源是当前粒子物理学的重要问题之一。标准模型(SM)为费米子和弱规范玻色子提供了质量, 但是它却不能够解释费米子质量产生的动力学原因, 而且标量部分还存在平庸性和不自然性等问题。因此, SM 只是低能有效理论, 在高能标(TeV)应该存在超出 SM 的新物理。

顶夸克的质量($m_t \approx 178.0 \pm 4.36 \text{ GeV}$)很大, 它是目前人们发现的最重的粒子。人们自然可以想到顶夸克质量与其他的夸克和轻子的质量来源不同, 也许它的来源和 EWSB 机制有某种联系。根据这种思想, 人们提出了一些超出 SM 的新物理模型, 其中顶色辅助的人工色(TC2)模型, 味普适 TC2 模型, top see-saw 模型, 和顶色 see-saw 模型是 4 个典型的例子^[1]。

众所周知, 由于轻子存在类似于 CKM 混合矩阵的么正矩阵, 3 个中微子没有质量, 轻子数 L_e , L_μ 和 L_τ 自动各自守恒, 在 SM 中不存在轻子味破坏(LFV)过程。然而, 太阳中微子实验和大气中微子实验数据^[2]证实了中微子之间存在振荡和味混合现象, 这就意味着轻子数不再单独守恒。此实验数据是在高能标下存在超出 SM 新物理的第一个直接证据, 所以 SM 需要一些修正, 应该允许 LFV 过程(如 $l_i \rightarrow l_j \gamma$, $l_i \rightarrow l_j l_k l_l$

和 $t \rightarrow c l_i l_j$) 存在。研究这些 LFV 过程在高能实验中的信号可为探测新物理提供指导, 所以人们在超出 SM 的一些特殊模型框架下对这类过程做了精确的理论计算, 给出了一些有意义的物理结果。本文主要研究 TC2 模型^[3]预言的中性 top 介子 π_t^0 对 LFV 过程 $l_i \rightarrow l_j \gamma$, $l_i \rightarrow l_j l_k l_l$, $t \rightarrow c l_i l_j$ 的贡献, 并讨论了在将来的高能对撞机实验中探测此修正效应的可能性。

对于 TC2 模型, EWSB 机制主要由 TC 相互作用或其他的强相互作用产生, 顶色相互作用仅对 EWSB 机制有一小部分贡献, 但提供顶夸克质量的主要部分。因此, 在低能态谱中存在 top 介子 $\pi_t^{\pm, 0}$ 是此模型的必然特征。所以, 研究 top 介子在当前和将来高能、低能实验的可能信号是非常有意义的, 它能够帮助人们在对撞机实验中寻找 top 介子, 验证强相互作用动力学理论。

由于顶色相互作用仅与第 3 代费米子耦合, 所以 TC2 模型没有 GIM 机制, 它可产生味改变(FC)耦合顶角, 因此 top 介子可产生新的 FC 耦合。中性 top 介子 π_t^0 与一般费米子耦合形式可写为^[1, 3-5]

$$\frac{m_t}{\sqrt{2} F_t} \frac{\sqrt{\nu_w^2 - F_t^2}}{\nu_w} [K_{UR}^{tt} K_{UL}^{tt*} \bar{t} \gamma^5 t \pi_t^0 + K_{UR}^{tc} K_{UL}^{tt*} \bar{t}_L c_R \pi_t^0] + \frac{m_1}{\sqrt{2} \nu_w} \bar{l} \gamma^5 l \pi_t^0 + \frac{m_\tau}{\sqrt{2} \nu_w} K_{\tau i} \bar{\tau} \gamma^5 l_i \pi_t^0. \quad (1)$$

其中 $\nu_w = \nu / \sqrt{2} = 174 \text{ GeV}$, $l_i (i = 1, 2)$ 代表第 1(第 2)

2005-02-21 收稿

* 国家自然科学基金(90203005)和辽宁省自然科学基金(20032101)资助

1) E-mail: cxyue@lnnu.edu.cn

代轻子 $e(\mu)$, $K_{\tau i}$ 是味混合因子参数, $F_t \approx 50\text{GeV}$ 是top介子衰变常数值. K_{UL} 和 K_{UR} 是上夸克质量对角化矩阵 M_U 的旋转矩阵, $K_{UL}^+ M_U K_{UR} = M_U^{\text{dia}}$. 为了产生CKM矩阵的形式, 可将它们取值为^[4]

$$K_{UL}^{tt} \approx 1, \quad K_{UR}^{tt} = 1 - \varepsilon, \quad K_{UR}^{tc} \leq \sqrt{2\varepsilon - \varepsilon^2}. \quad (2)$$

在后面的计算中我们将取 $K_{UR}^{tc} = \sqrt{2\varepsilon - \varepsilon^2}$, ε 是一个自由参数, 取值为 $0.01-0.1$ ^[1, 3].

本文结构如下: 第2部分计算 π_t^0 对LFV过程 $l_i \rightarrow l_j \gamma$ 和 $l_i \rightarrow l_j l_k l_l$ 的贡献. 用LFV过程 $\mu \rightarrow e\gamma$ 的实验上限给出它对味混合因子的限制, 在此基础上进一步计算了分支比 $Br(l_i \rightarrow l_j \gamma)$ 和 $Br(l_i \rightarrow l_j l_k l_l)$ 的值; 第3部分讨论 π_t^0 对分支比 $Br(t \rightarrow cl_i l_j)$ 的贡献; 第4部分给出结论.

2 LFV过程 $l_i \rightarrow l_j \gamma, l_i \rightarrow l_j l_k l_l$

2.1 LFV过程 $l_i \rightarrow l_j \gamma$

中微子振荡实验^[2]表明单独的轻子数 $L_{e,\mu,\tau}$ 破坏, LFV过程(如 $l_i \rightarrow l_j \gamma$ 和 $l_i \rightarrow l_j l_k l_l$)存在. 这些过程的分支比在具有右手中微子的SM中非常小. 文献[6]给出 $Br(\mu \rightarrow e\gamma) < 10^{-47}$, 如此小的分支比是不能被将来的实验观测到的. 当前 $l_i \rightarrow l_j \gamma$ 过程分支比的实验值上限为^[7]

$$\begin{aligned} Br(\tau \rightarrow \mu\gamma) &< 1.1 \times 10^{-6}, \\ Br(\tau \rightarrow e\gamma) &< 2.7 \times 10^{-6}, \\ Br(\mu \rightarrow e\gamma) &< 1.1 \times 10^{-11}. \end{aligned} \quad (3)$$

从方程(1)可看出 π_t^0 交换对LFV过程 $l_i \rightarrow l_j \gamma$ 产生单圈级贡献, 其费曼图如图1所示. 图1中费米子内线可以是 τ, μ 或 e . 但是, 内线传播子形式为 $\frac{m_f^2}{s - m_f^2}$ (\sqrt{s} 是质心能量, m_f 是轻子质量), $s \gg m_f^2$, 而相对于轻子 τ 来说轻子 μ 和 e 的质量很小, 所以仅取 τ 作为费米子内线.

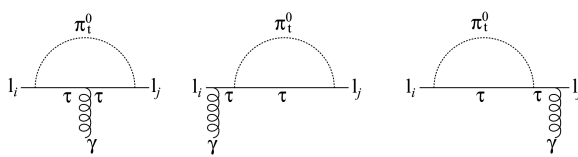


图1 中性top介子 π_t^0 对LFV过程 $l_i \rightarrow l_j \gamma$ 贡献的费曼图

用方程(1)和其他费曼规则LFV过程 $l_i \rightarrow l_j \gamma$ 的

衰变宽度可写为^[5]

$$\Gamma(\tau \rightarrow m\gamma) = \frac{m_\tau^5 k_{\tau m}^2 \alpha_e}{2048 \nu^4 \pi^4} \left[F_1^2 - \frac{1}{2} m_\tau^2 (F_2^2 + F_2 F_3) - m_\tau F_1 F_2 \right], \quad (4)$$

其中 $m = \mu$ 或 e , F_i 表示为

$$F_1 = B_0 + m_{\pi_t}^2 C_0 - 2C_{24} + m_\tau^2 (C_{11} - C_{12}) - B_0^* - B_1', \quad (5)$$

$$F_2 = 2m_\tau (-C_{21} - C_{22} + 2C_{23}), \quad (6)$$

$$F_3 = 2m_\tau (C_{22} - C_{23}). \quad (7)$$

$$\Gamma(\mu \rightarrow e\gamma) = \frac{m_\tau^4 m_\mu k_{\tau\mu}^2 k_{\tau e}^2 \alpha_e}{2048 \nu^4 \pi^4}.$$

$$\left[F_1'^2 - m_\mu F_1' F_2' - \frac{1}{2} m_\mu^2 (F_2'^2 + F_2' F_3') \right] \quad (8)$$

其中

$$\begin{aligned} F_1' &= m_\mu^2 (C_{11} - C_{12}) + m_\tau (m_\mu - m_\tau) C_0 - 2C_{24} + B_0 + \\ &m_{\pi_t}^2 C_0 - \frac{m_\tau}{m_\mu} B_0^* + \frac{m_\tau - m_\mu}{m_\mu} B_0' - B_1', \end{aligned} \quad (9)$$

$$\begin{aligned} F_2' &= 2[(m_\tau - m_\mu)(C_{11} - C_{12}) - \\ &m_\mu (C_{21} + C_{22} - C_{23})], \end{aligned} \quad (10)$$

$$F_3' = 2[m_\tau C_{12} + m_\mu (C_{22} - C_{23})]. \quad (11)$$

两点和三点标量积分函数 B_n, C_0, C_{ij} 的表达式为

$$\begin{aligned} C_{ij} &= C_{ij}(-p_l, p_\gamma, m_{\pi_t}, m_\tau, m_\tau), \\ C_0 &= C_0(-p_l, p_\gamma, m_{\pi_t}, m_\tau, m_\tau), \end{aligned} \quad (12)$$

$$\begin{aligned} B_0 &= B_0(p_\gamma, m_\tau, m_\tau), \\ B_0^* &= B_0(-p_m, m_{\pi_t}, m_\tau), \\ B_1' &= B_1'(-p_l, m_{\pi_t}, m_\tau), \end{aligned} \quad (13)$$

其中 m_{π_t} 是top介子的质量, $P_m(m = \mu$ 或 e)是末态轻子的动量, P_l 是初态轻子的质量. $l = \tau$ 或 μ , 分别对应着 τ 轻子衰变 $\tau \rightarrow e\gamma$ 和 μ 轻子衰变 $\mu \rightarrow e\gamma$. 上面的方程中假设末态轻子质量为0.

若假设混合因子 $k_{\tau\mu}$ 等于 $k_{\tau e}$, 那么对于 $m_\mu \approx 0$, $m_e \approx 0$ 就有 $\Gamma(\tau \rightarrow \mu\gamma) \approx \Gamma(\tau \rightarrow e\gamma)$. 过程 $l_i \rightarrow l_j \gamma$ 的分支比 $Br(l_i \rightarrow l_j \gamma)$ 可写为

$$\begin{aligned} Br(\tau \rightarrow \mu\gamma) &\approx Br(\tau \rightarrow e\gamma) = \\ Br^{\text{exp}}(\tau \rightarrow e\nu_e \bar{\nu}_\tau) &\frac{\Gamma(\tau \rightarrow e\gamma)}{\Gamma(\tau \rightarrow e\nu_e \bar{\nu}_\tau)}, \end{aligned} \quad (14)$$

$$Br(\mu \rightarrow e\gamma) = \frac{\Gamma(\mu \rightarrow e\gamma)}{\Gamma(\mu \rightarrow e\nu_e \bar{\nu}_\mu)}, \quad (15)$$

其中

$$\Gamma(\tau \rightarrow e\nu_e \bar{\nu}_\tau) = \frac{m_\tau^5 G_F^2}{192 \pi^3}, \quad \Gamma(\mu \rightarrow e\nu_e \bar{\nu}_\mu) = \frac{m_\mu^5 G_F^2}{192 \pi^3}. \quad (16)$$

在计算中取费米耦合常数 $G_F = 1.16637 \times 10^{-5} \text{ GeV}^{-2}$, 分支比 $Br(\tau \rightarrow e\nu_e\bar{\nu}_\tau)$ 精确实验测量值 $Br^{\text{exp}}(\tau \rightarrow e\nu_e\bar{\nu}_\tau) = (17.83 \pm 0.06)\%$ ^[7].

数值计算中取 SM 的参数 $\alpha_e(m_Z) = \frac{1}{128.8}$, $m_\tau = 1.777 \text{ GeV}$, $m_\mu = 0.105 \text{ GeV}$ ^[7]. 除了这些参数以外, 分支比依赖于 TC2 模型的 3 个自由参数: ε , m_{π_t} , $k_{\tau l}$. 对 top 介子质量 m_{π_t} 的限制可通过研究其对某些观测量的贡献给出^[1], 目前人们一般取 m_{π_t} 为几百 GeV.

图 2 给出了分支比 $Br(\mu \rightarrow e\gamma)$ 随混合因子 k 的变化曲线. 为了比较 π_t^0 交换产生的 $Br(\mu \rightarrow e\gamma)$ 数值与当前实验的限制, 我们用水平实线表示 $Br(\mu \rightarrow e\gamma) = 1.1 \times 10^{-11}$. 从图 2 可以看出分支比 $Br(\mu \rightarrow e\gamma)$ 的值随着 m_{π_t} 的增加降低, 随 k 的增加而升高. 在整个参数空间, 分支比 $Br(\mu \rightarrow e\gamma)$ 的数值范围在 $2.5 \times 10^{-12} - 1.4 \times 10^{-7}$. 通过类似的计算, 还可得到在 TC2 模型大部分参数空间内, LFV 过程 $l_i \rightarrow l_j \gamma$ 的分支比 $Br(\tau \rightarrow \mu\gamma) \approx Br(\tau \rightarrow e\gamma) < 2 \times 10^{-10}$, 此结果至少比当前 $\tau \rightarrow l\gamma$ 实验上限低 4 个量级, 所以我们没有画相应的变化曲线.

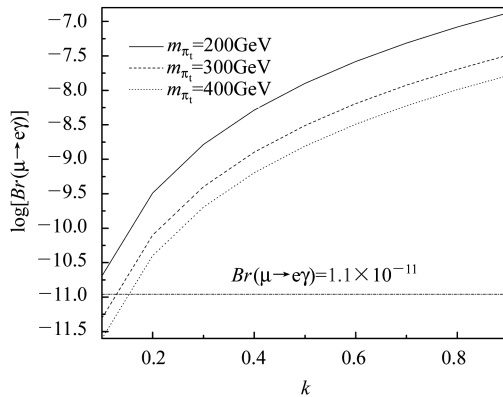


图 2 分支比 $Br(\mu \rightarrow e\gamma)$ 随味混合因子 k 的变化曲线

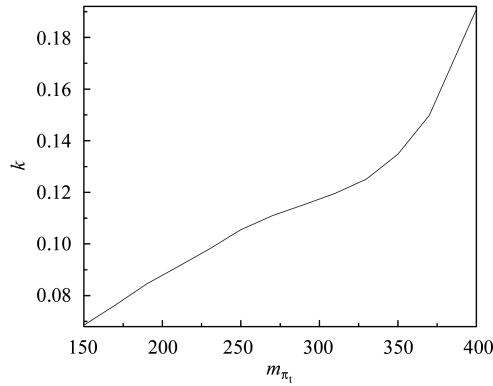


图 3 混合因子 k 的允许值随 m_{π_t} 的变化曲线

考虑到当前实验对 LFV 过程 $\mu \rightarrow e\gamma$ 的限制, 假设 $150 \text{ GeV} \leq m_{\pi_t} \leq 400 \text{ GeV}$, 得出了对混合因子 k 的限制(如图 3 所示). 从图 3 可以看出 k 的数值随 m_{π_t} 增

加而增加. 如果要求 m_{π_t} 小于 400 GeV, 那么必须有 $k \leq 0.21$ ^[5]. 因此, 当前 LFV 过程 $\mu \rightarrow e\gamma$ 的实验上限对 TC2 模型的自由参数 k 有很强的限制.

2.2 LFV 过程 $l_i \rightarrow l_j l_k l_l$

在 TC2 模型中, 中性 top 介子 π_t^0 对 LFV 过程 $l_i \rightarrow l_j l_k l_l$ 贡献的费曼图如图 4 所示. 在图 4(b), (c), (d) 中, 取 $k = l$.

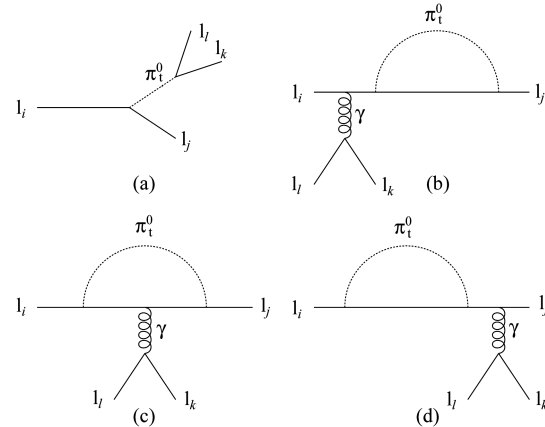


图 4 π_t^0 对 LFV 过程 $l_i \rightarrow l_j l_k l_l$ 贡献的费曼图

首先考虑中性 top 介子 π_t^0 对 LFV 过程 $l_i \rightarrow l_j l_k l_l$ 的树级贡献(如图 4(a)). 对于过程 $\mu \rightarrow 3e$, π_t^0 可通过 FC 标量耦合 $\pi_t^0 \bar{\mu} e$ 对此过程产生贡献, 但是顶色相互作用只与第 3 代费米子有关, 与第 1 代和第 2 代费米子的味混合非常小 $k_{\mu e} \approx 0$ ^[4]. 因此, π_t^0 交换对分支比 $Br(\mu \rightarrow 3e)$ 的树级贡献为 0. 中性 top 介子 π_t^0 只通过 FC 耦合 $\pi_t^0 \bar{\tau} e$, $\pi_t^0 \bar{\tau} \mu$ 对 LFV 过程 $\tau \rightarrow 2\mu e$ 和 $\tau \rightarrow 2e\mu$ 产生贡献. 仅考虑 π_t^0 对单圈级贡献时 $\tau \rightarrow l_i l_j l_k$ 过程的衰变宽度可写为

$$\Gamma(\tau \rightarrow 3e) = \frac{m_\tau^7 m_e^2}{1042 \pi^3 m_\pi^4 \nu^4} k^2, \quad (17)$$

$$\Gamma(\tau \rightarrow 3\mu) = \frac{m_\tau^7 m_\mu^2}{1042 \pi^3 \nu^4 m_\pi^4} k^2, \quad (18)$$

$$\Gamma(\tau \rightarrow 2\mu e) = \frac{m_\tau^7 m_\mu^2}{3072 \pi^3 m_\pi^4 \nu^4} k^2, \quad (19)$$

$$\Gamma(\tau \rightarrow 2e\mu) = \frac{m_\tau^7 m_e^2}{3072 \pi^3 m_\pi^4 \nu^4} k^2, \quad (20)$$

其中 m_l ($l = \mu, e, \tau$) 表示轻子的质量.

再考虑 π_t^0 (如图 4(b), (c), (d)) 对 LFV 过程 $l_i \rightarrow l_j l_k l_l$ 的单圈级贡献(如图 4(b), (c), (d)). 与图 1 类似, 企鹅图内线仅为 τ 费米子线. 为方便起见用分支比 $Br(l_i \rightarrow l_j \gamma)$ 来表示 $Br(l_i \rightarrow l_j l_k l_l)$. $Br(l_i \rightarrow l_j l_k l_l)$ 可

写为

$$\begin{aligned} Br^{1\text{-loop}}(\tau \rightarrow 3\mu) &= Br^{1\text{-loop}}(\tau \rightarrow 3e) = \\ Br^{1\text{-loop}}(\tau \rightarrow 2\mu e) &= Br^{1\text{-loop}}(\tau \rightarrow 2e\mu) \approx \\ &\frac{\alpha_e}{3\pi} \left(\ln \frac{m_\tau^2}{m_\mu^2} - \frac{11}{4} \right) Br(\tau \rightarrow e\gamma), \quad (21) \end{aligned}$$

$$Br^{1\text{-loop}}(\mu \rightarrow 3e) \approx \frac{\alpha_e}{3\pi} \left(\ln \frac{m_\tau^2}{m_\mu^2} - \frac{11}{4} \right) Br(\mu \rightarrow e\gamma). \quad (22)$$

假设 $m_\mu \approx 0$, $m_e \approx 0$ 就得到 $Br(\tau \rightarrow e\gamma) \approx Br(\tau \rightarrow \mu\gamma)$. $Br(\tau \rightarrow e\gamma)$ 和 $Br(\mu \rightarrow e\gamma)$ 相应的表达式由方程(14)和(15)给出.

比较 π_t^0 交换的树图和单圈图对 $l_i \rightarrow l_j l_k l_l$ 的贡献, 我们发现对于分支比 $Br(\tau \rightarrow 2e\mu)$, $Br(\tau \rightarrow 3e)$, 和 $Br(\mu \rightarrow 3e)$, 单圈图贡献至少要比树图贡献大4个量级. 这是因为味对角耦合 $\pi_t^0 ee$ 与 $\frac{m_e}{\nu}$ 成正比, m_e 的值很小, 它对这些分支比有很强的压低. 但是, 对于过程 $\tau \rightarrow 3\mu$ 和 $\tau \rightarrow 2\mu e$, 这两种贡献是同量级的. 因此, 在计算 $\tau \rightarrow 3e$, $\tau \rightarrow 2e\mu$ 和 $\mu \rightarrow 3e$ 时忽略了树级贡献.

考虑到当前 $\mu \rightarrow e\gamma$ 过程的实验上限($Br(\mu \rightarrow e\gamma) \leq 1.1 \times 10^{-11}$)对自由参数 m_{π_t} 和 k 的限制, 可很容易得到分支比 $Br(\mu \rightarrow 3e)$ 的值. 结果表明其数值大约等于 2.87×10^{-14} , 这有可能在下一代实验中探测到.

将树级贡献和单圈级贡献相加, 显然可得到 $Br(\tau \rightarrow 3e) \approx Br(\tau \rightarrow 2e\mu)$, $Br(\tau \rightarrow 3\mu) \approx Br(\tau \rightarrow 2\mu e)$. 所以图5中只画了两条曲线, 即 $Br_1 = Br(\tau \rightarrow 3e)$ 和 $Br_2 = Br(\tau \rightarrow 3\mu)$. 从图5可以看出分支比随 m_{π_t} 的增加而降低. 当 $m_{\pi_t} < 400$ GeV 时, $Br(\tau \rightarrow 3e) \approx Br(\tau \rightarrow 2e\mu) \geq 1.1 \times 10^{-15}$, $Br(\tau \rightarrow 3\mu) \approx Br(\tau \rightarrow 2\mu e) \geq 3.1 \times 10^{-15}$. 即使取 $m_{\pi_t} = 200$ GeV, 分支比 $Br(\tau \rightarrow 3\mu)$ 的值仅能达到 1.54×10^{-14} , 这远低于 $\tau \rightarrow l_i l_j l_k$ 实验给出的范围(10^{-6} 或 10^{-7})^[7, 8].

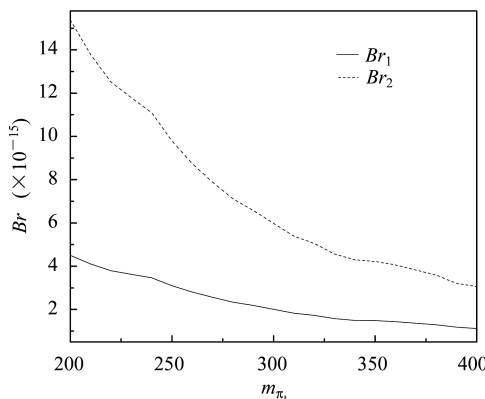


图 5 分支比 $Br(l_i \rightarrow l_j l_k l_l)$ 随 m_{π_t} 的变化曲线
 $Br_1 = Br(\tau \rightarrow 3e)$, $Br_2 = Br(\tau \rightarrow 3\mu)$.

3 中性top介子和 $t \rightarrow cl_i l_j$

将图4中 l_i, l_j, l_k, l_l 分别替换为 t, c, l_i, l_j 可以得到中性top介子 π_t^0 对LFV过程 $t \rightarrow cl_i l_j$ 修正的费曼图. 首先考虑 π_t^0 对顶夸克稀有衰变 $t \rightarrow cl(l = \tau, \mu, e)$ 的贡献. 用方程(1), (2)和相关的其他费曼规则, $t \rightarrow cl$ 的重正化振幅可写为^[9]

$$M_1 = M_{\text{tree}} + M_{\text{loop}}, \quad (23)$$

$$M_{\text{tree}} = A_1 \bar{u}_c \gamma_5 u_t \frac{i}{q^2 - m_{\pi_t}^2 + i m_{\pi_t} \Gamma_{\text{total}}} \bar{u}_l \gamma_5 v_l, \quad (24)$$

$$M_{\text{loop}} = \bar{u}_l (-ie\gamma_\nu) v_l \frac{-ig^{\mu\nu}}{p_\gamma^2 + i\varepsilon} \bar{u}_c A_{tc\gamma,\mu} u_t, \quad (25)$$

$$A_{tc\gamma,\mu} = A_2 [\gamma_\mu F_1 + p_{t,\mu} F_2 + p_{c,\mu} F_3] \quad (26)$$

其中

$$A_1 = i \frac{m_t}{\sqrt{2} F_t} \frac{\sqrt{\nu_w^2 - F_t^2}}{\nu_w} K_{UR}^{\text{tc}} K_{UL}^{tt*} \frac{m_l}{\nu},$$

$$A_2 = \frac{i}{16\pi^2} \frac{em_t^2}{3F_t^2} \frac{\nu_w^2 - F_t^2}{\nu_w^2} K_{UR}^{\text{tc}} K_{UR}^{tt} (K_{UL}^{tt*})^2$$

$$F_1 = [(m_c - m_t)(-m_t C_{11} + m_t C_{12} + m_c C_{12}) - 2C_{24} + m_\pi^2 C_0 + B_0 - B_0^* - B_1'],$$

$$F_2 = 2m_c(C_{22} - C_{23}) + 2m_t(2C_{23} - C_{21} - C_{22}),$$

$$F_3 = -2(m_c - m_t)(C_{12} + C_{22}) - 2m_t C_{23}.$$

其中 q 是 π_t^0 的四维动量, Γ_{total} 是 π_t^0 的总衰变宽度, 其表达式在文献[10]中已经给出.

π_t^0 交换只对LFV过程 $t \rightarrow cl(l = \mu \text{或} e)$ 产生树级贡献. 重整化振幅为

$$M_2 = A_3 \bar{u}_c \gamma_5 u_t \frac{i}{q^2 - m_{\pi_t}^2 + i m_{\pi_t} \Gamma_{\text{total}}} \bar{u}_\mu \gamma^5 v_\tau, \quad (27)$$

$$A_3 = i \frac{m_t}{\sqrt{2} F_t} \frac{\sqrt{\nu_w^2 - F_t^2}}{\nu_w} K_{UR}^{\text{tc}} K_{UL}^{tt*} \frac{m_\tau}{\nu} K_{\tau l}. \quad (28)$$

衰变宽度 $\Gamma(t \rightarrow cl_i l_j)$ 可由下面相空间积分一般表达式得到,

$$\Gamma(t \rightarrow cl_i l_j) = \frac{1}{2m_t} \int (2\pi)^4 \delta^4(p_t - p_c - p_{l_i} - p_{l_j}) \cdot$$

$$\sum |M|^2 \frac{d^3 p_c}{(2\pi)^3 2E_c} \frac{d^3 p_{l_i}}{(2\pi)^3 2E_{l_i}} \frac{d^3 p_{l_j}}{(2\pi)^3 2E_{l_j}}, \quad (29)$$

E_c, E_{l_i} 和 E_{l_j} 分别对应末态粒子 c, l_i 和 l_j 的能量.

在数值计算中, 我们假设顶夸克总衰变宽度 $\Gamma_t \approx \Gamma(t \rightarrow wb)$, 且取 $\Gamma(t \rightarrow wb) = 1.56$ GeV, $m_t = 175$ GeV, $m_c = 1.2$ GeV^[7].

如图 6 所示分支比 $Br(t \rightarrow c\tau\tau)$ 随 $m_{\pi_t^0}$ 增加而减小, 随 ε 增加而增加。在 TC2 模型的整个参数空间中, 分支比 $Br(t \rightarrow c\tau\tau)$ 的值要大于 $Br(t \rightarrow c\mu\mu)$ 。例如, 对于 $m_{\pi_t^0} = 200\text{GeV}$ 和 $\varepsilon = 0.05$, 分支比 $Br(t \rightarrow c\tau\tau)$ 和 $Br(t \rightarrow c\mu\mu)$ 的值分别是 8.2×10^{-8} 和 5.6×10^{-9} 。中性 top 介子 π_t^0 对分支比 $Br(t \rightarrow c\tau\tau)$, $Br(t \rightarrow c\mu\mu)$ 和 $Br(t \rightarrow cee)$ 的单圈级贡献几乎是相等的, 数值小于 5×10^{-9} 。 π_t^0 对分支比 $Br(t \rightarrow cll)$ 的树级贡献正比于 $\frac{m_1^2}{\nu}$ 。因此, 对于过程 $t \rightarrow c\tau\tau$, 树级贡献至少比单圈级贡献大两个数量级, 而对于过程 $t \rightarrow c\mu\mu$, 树级贡献和单圈级贡献在同一量级。

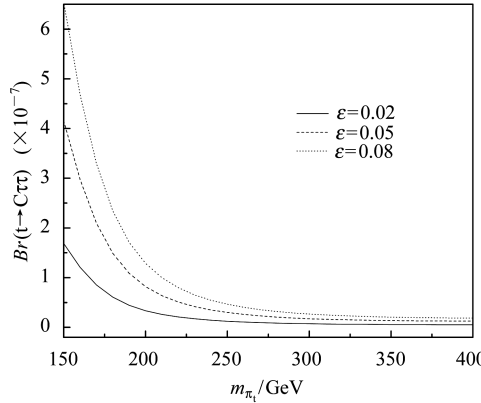


图 6 分支比 $Br(t \rightarrow c\tau\tau)$ 随 $m_{\pi_t^0}$ 的变化曲线(包括树级和单圈级的贡献)

对于过程 $t \rightarrow cee$, 树级贡献的因子 $\frac{m_e^2}{\nu^2}$ 对分支比 $Br(t \rightarrow cee)$ 有很强的压低, $Br(t \rightarrow cee)$ 主要由单圈图产生, 数值小于 5×10^{-9} 。因此, 如果要在高能实验中通过顶夸克稀有衰变 $t \rightarrow cll$ 探测 π_t^0 的可能信号, 首先应该考虑过程 $t \rightarrow c\tau\tau$ 。比如, 如果取 $m_{\pi_t^0} = 150\text{GeV}$, $\varepsilon = 0.08$, 分支比 $Br(t \rightarrow c\tau\tau)$ 的值可达到 7.1×10^{-7} 。

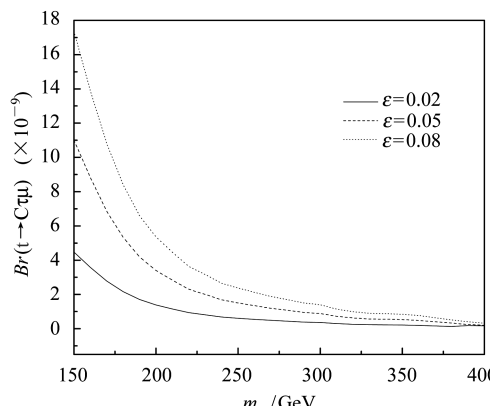


图 7 分支比 $Br(t \rightarrow c\tau\mu) \approx Br(t \rightarrow c\tau e)$ 随 $m_{\pi_t^0}$ 的变化曲线

从上面的讨论, 可以看出 π_t^0 仅对顶夸克稀有衰变 $t \rightarrow c\tau l$ ($l = \mu$ 或 e) 产生树级贡献。考虑到 LFV 过程

$\mu \rightarrow e\gamma$ 的实验上限对味混合因子 k 的限制, 我们计算了分支比 $Br(t \rightarrow c\tau l)$ 的值, 结果如图 7 所示。从图 7 可以看出, 当 $0.02 \leq \varepsilon \leq 0.08$ 和 $150\text{GeV} \leq m_{\pi_t^0} \leq 400\text{GeV}$ 时, 分支比 $Br(t \rightarrow c\tau\mu) \approx Br(t \rightarrow c\tau e)$ 的数值范围为 1.8×10^{-10} — 1.7×10^{-8} 。

4 结论

Topcolor 理论的普遍特征是预言了 top 介子的存在。top 介子与第 3 代费米子有很强的耦合, 可产生新的 FC 标量耦合, 因此可对 FC 过程产生有效的贡献。top 介子对 FC 过程贡献的大小由其质量和相关味混合因子的数值决定。

本文研究了 TC2 模型预言的 top 介子 π_t^0 对 LFV 过程 $l_i \rightarrow l_j \gamma$, $l_i \rightarrow l_j l_k l_l$ 和 $t \rightarrow cl_i l_j$ 的贡献。我们发现在 TC2 模型整个参数空间内分支比 $Br(\tau \rightarrow e\gamma)$ 的值近似等于 $Br(\tau \rightarrow \mu\gamma)$, 数值小于 2×10^{-10} 。此结果至少比当前 $\tau \rightarrow l\gamma$ 的实验上限低 4 个量级, 因此不能在将来的实验中探测到。当前 $\mu \rightarrow e\gamma$ 实验上限对 TC2 模型自由参数 $m_{\pi_t^0}$ 和 k 有很强的限制。基于这些限制, 进一步计算了 π_t^0 对 LFV 过程 $l_i \rightarrow l_j l_k l_l$ 的贡献。对于 LFV 过程 $\mu \rightarrow 3e$, $\tau \rightarrow 3e$ 和 $\tau \rightarrow 2e\mu$, 来自企鹅图的贡献至少比树图的贡献大 4 个量级, 所以在计算中我们忽略了树图贡献, 得出分支比 $Br(\mu \rightarrow 3e)$ 的值大约等于 2.87×10^{-14} 。在下一代高能实验中有可能观测到中性 top 介子对此过程的修正效应。分支比 $Br(\tau \rightarrow 3e) \approx Br(\tau \rightarrow 2e\mu)$ 和 $Br(\tau \rightarrow 3\mu) \approx Br(\tau \rightarrow 2\mu e)$ 的值小于 1.54×10^{-14} , 远低于实验给出的这些过程的实验上限(10^{-6} 或 10^{-7}), 因此将来的实验不可能通过这些过程探测 π_t^0 的可能迹象。

对于 LFV 过程 $t \rightarrow cl_i l_j$, 计算结果表明: 分支比 $Br(t \rightarrow c\tau\mu) \approx Br(t \rightarrow c\tau e)$, 其数值在 1.8×10^{-10} — 1.7×10^{-8} 范围内; 对于 $Br(t \rightarrow cll)$, 在 TC2 模型的整个参数空间内, $Br(t \rightarrow cee)$, $Br(t \rightarrow c\mu\mu)$ 的值小于 $Br(t \rightarrow c\tau\tau)$ 的值。选取合理的参数值, 分支比 $Br(t \rightarrow c\tau\tau)$ 的值可达到 7.1×10^{-7} 。因此, 若要通过 LFV 过程 $t \rightarrow cl_i l_j$ 探测中性 top 介子 π_t^0 的可能物理迹象应首先考虑过程 $t \rightarrow c\tau\tau$ 。在 LHC 实验中通过 FC 过程探测 top 介子的可能性已在参考文献 [4, 11] 中有详细的讨论, 文章说明在 LHC 中也许可以观测到 top 介子。而我们的工作在 LHC 实验中探测中性标量粒子的可能迹象提供了另外一种方法。

参考文献(References)

- 1 Hill C T, Simmons E H. Phys. Rept., 2003, **381**: 235; [Erratum Phys. Rept., 2004, **390**: 553]
- 2 Fukuda S et al(Super-Kamiokande Collaboration). Phys. Rev. Lett., 2001, **86**: 5651; 5656; Ahmad Q R et al(SNO Collaboration). Phys. Rev. Lett., 2001, **87**: 071301; 2002, **89**: 011301; 2002, **89**: 011302; Davis R(Homestake Collaboration). Rev. Mod. Phys., 2003, **75**: 985; Fukuda Y et al(Super-Kamiokande Collaboration). Phys. Rev. Lett., 1998, **81**: 1562; 1999, **82**: 2644; 2000, **85**: 3999
- 3 Hill C T. Phys. Lett., 1995, **B345**: 483; Lane K, Eichten E. Phys. Lett., 1995, **B352**: 383; Lane K. Phys. Lett., 1998, **B433**: 96; Cvetic G. Rev. Mod. Phys., 1999, **71**: 513
- 4 Burdman G. Phys. Rev. Lett., 1999, **83**: 2888; HE H J, YUAN C P. Phys. Rev. Lett., 1999, **83**: 28; HE H J, Kamemura S, YUAN C P. Phys. Rev. Lett., 2002, **89**: 101803
- 5 YUE Chong-Xing, LIU Lan-Jun, YU Dong-Qi. Phys. Rev., 2003, **D68**: 035002; YUE Chong-Xing, YU Dong-Qi, LIU Lan-Jun. Phys. Rev., 2004, **D69**: 095003
- 6 Bilenky S M, Petcov S T, Pontecorvo B. Phys. Lett., 1997, **B67**: 309; Pectcov S T. Sov. J. Nucl. Phys., 1997, **25**: 340; CHENG T P, LI L F. Phys. Rev. Lett., 1980, **45**: 1908
- 7 Groom D E et al(Particle Data Group). Eur. Phys. J., 2000, **C15**: 1; Hagiwara K et al. Phys. Rev., 2002, **D66**: 010001 and references therein
- 8 Hokuue T. Talk in PDF 2002, 24—28 May 2002, Williamsburg, Virginia, USA; Yusa Y. Talk in PDF2002, 24—28 May 2002, Williamsburg, Virginia, USA
- 9 YUE Chong-Xing, WANG Lei, YU Dong-Qi. Phys. Rev., 2004, **D70**: 054011
- 10 YUE Chong-Xing et al. Phys. Rev., 2001, **D63**: 115002; LIU Lan-Jun, YUE Chong-Xing. HEP & NP, 2004, **28**(5): 475—478 (in Chinese)
(刘兰君, 岳崇兴. 高能物理与核物理, 2004, **28**(5): 475—478)
- 11 CAO J J, XIONG Z H, YANG J M. Phys. Rev., 2003, **D67**: 071701

Neutral Top-Pion and the Lepton Flavor Violation Processes^{*}

YUE Chong-Xing¹⁾ YU Dong-Qi

(Department of Physics, Liaoning Normal University, Dalian 116029, China)

Abstract In the context of topcolor-assisted technicolor (TC2) model, we study the contributions of the neutral top-pion π_t^0 to the lepton flavor violation (LFV) processes $l_i \rightarrow l_j \gamma$, $l_i \rightarrow l_j l_k l_l$ and $t \rightarrow c l_i l_j$ respectively. We find that the present experimental upper bound for $\mu \rightarrow e\gamma$ gives severe constraints on the free parameters of the TC2 model. Under these constraints, we consider the processes $l_i \rightarrow l_j l_k l_l$ and $t \rightarrow c l_i l_j$ generated by π_t^0 exchange at the tree-level and the one loop level. Our numerical results show that the neutral top-pion π_t^0 can enhance the branching ratios of these processes by several orders of magnitude. Some of those processes might be used to detect the possible signals of π_t^0 in the future high energy experiment.

Key words neutral top-pion (π_t^0), lepton flavor violation, branching ratio

Received 21 February 2005

*Supported by National Natural Science Foundation of China(90203005) and Natural Science Foundation of the Liaoning Scientific Committee(20032101)

1) E-mail: cxyl@lnnu.edu.cn